

a/a

б/б

в/в

д/д

е/е



е/ф

ж/г

з/г

и/и



к/л

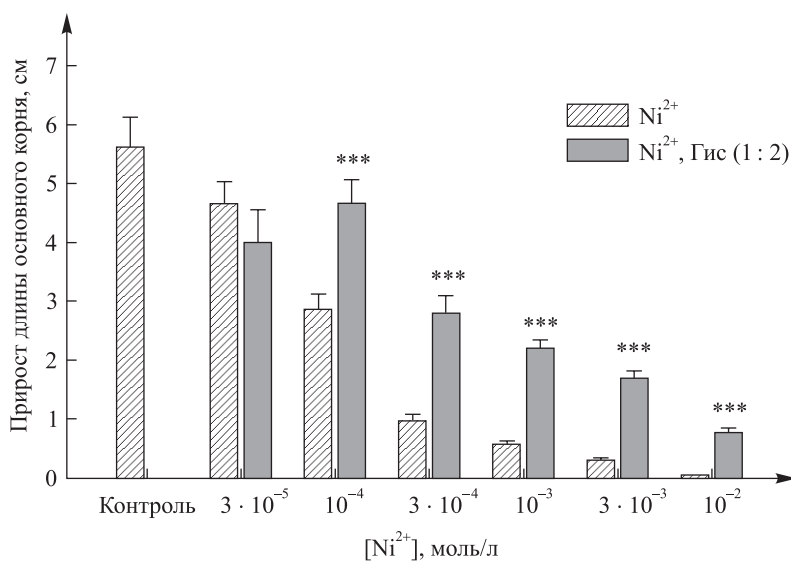


Рис. 1. Воздействие Ni^{2+} и Ni^{2+} -гистидиновых комплексов на рост корней подсолнечника. Внешний вид 7-дневных проростков подсолнечника: а – безникелевая среда (контроль); среда с Ni^{2+} в концентрации (ммоль/л): б – 0,3; в – 1; д – 3; з – 10; среда с Ni^{2+} -гистидиновыми комплексами в концентрации: в – 0,3 ммоль/л Ni^{2+} + 0,6 ммоль/л Гис; д – 1 ммоль/л Ni^{2+} + 2 ммоль/л Гис; ж – 3 ммоль/л Ni^{2+} + 6 ммоль/л Гис; и – 10 ммоль/л Ni^{2+} + 20 ммоль/л Гис. Средние значения прироста длины основного корня ($X \pm Sx$, $n = 30$), полученные в контроле и при обработке Ni^{2+} и Ni^{2+} -гистидиновыми комплексами (к). Достоверность различий рассчитывалась по отношению к растениям, обработанным Ni^{2+} : *** – $p < 0,001$

Fig. 1. Ni^{2+} and Ni^{2+} -histidine complexes effect on the sunflower root growth. Typical photos of 7-day sunflower seedlings: а – nickel-free medium (the control); medium with Ni^{2+} in concentration (mmol/L): б – 0.3; д – 1; ф – 3; г – 10; medium with Ni^{2+} -histidine complexes in concentration: в – 0.3 mmol/L Ni^{2+} + 0.6 mmol/L histidine; е – 1 mmol/L Ni^{2+} + 2 mmol/L histidine; г – 3 mmol/L Ni^{2+} + 6 mmol/L histidine; и – 10 mmol/L Ni^{2+} + 20 mmol/L histidine. Mean length gain of the main root ($X \pm Sx$, $n = 30$) (л). The significance of differences was calculated with respect to the Ni^{2+} -treated plants: *** – $p < 0.001$